

МЕТОД ЧИСЛЕННОГО МОДЕЛИРОВАНИЯ КОНВЕКТИВНЫХ ТЕЧЕНИЙ

И. Б. ПАЛЫМСКИЙ

Новосибирский военный институт, Россия

e-mail: nina@nsc.ru

A spectrum method for the calculation of stochastic, convective currents of incompressible fluid in a rectangular domain that appear when heated from below under supercritical condition equal to 1000 is suggested. The spectral characteristics of the differential problem and numerical method are compared.

В настоящей работе описан новый вариант спектрального метода расчета конвективных течений вязкой несжимаемой жидкости в прямоугольной области при подогреве снизу. Горизонтальные границы области предполагаются изотермическими и свободными от касательных напряжений, а на вертикальных границах задан линейный профиль температуры и “мягкие” граничные условия для завихренности ω и функции тока φ .

Записанная в отклонениях от равновесного решения исходная система уравнений после обезразмеривания имеет вид [1]

$$\begin{aligned}\omega_t + \frac{1}{\text{Pr}}(\varphi_y \omega_x - \varphi_x \omega_y) &= \Delta \omega + \text{Ra} Q_x, \\ \Delta \varphi &= -\omega, \\ Q_t + \frac{1}{\text{Pr}}(\varphi_y Q_x - \varphi_x Q_y) &= \frac{1}{\text{Pr}} \Delta Q - \frac{1}{\text{Pr}} \varphi_x,\end{aligned}\quad (1)$$

где φ — функция тока; ω — вихрь; Q — отклонение температуры от равновесного профиля (полная температура равна $1 - y + Q$); $\Delta f = f_{xx} + f_{yy}$ — оператор Лапласа; $\text{Ra} = \frac{g\beta H^3 dQ}{\chi\nu}$ — число Рэлея; $\text{Pr} = \nu/\chi$ — число Прандтля; g — ускорение силы тяжести; β, ν, χ — коэффициенты теплового расширения, кинематической вязкости и температуропроводности соответственно; H — толщина слоя и dQ — разность температур на горизонтальных границах.

Система (1) решается в области $\Pi = \{(x, y) | 0 \leq x \leq l, 0 \leq y \leq 1\}$ с условиями $\varphi = \omega = Q = 0$ при $y = 0, 1$, $0 \leq x \leq l$ на горизонтальных границах и $\varphi_x = \omega_x = Q = 0$ при $x = 0, l$, $0 \leq y \leq 1$ на вертикальных границах.

Подобные задачи рассматривались многими авторами [1–5]. Как правило, система (1) решалась с периодическими граничными условиями с помощью спектрального метода. Хорошо исследованы режимы конвективных течений при надкритичностях до $r = \text{Ra}/\text{Ra}_{\text{cr}} \leq$

300, $Ra_{cr} = 657.5$ [1]. Вплоть до $r = 1000$ исследовались симметричные решения [2]. Установлено, что при увеличении надкритичности ($r > 1$) нулевое решение становится неустойчивым и возникают вторичное стационарное решение, затем периодическое и двухчастотное. Однако по поводу существования хаотических (сложных) режимов конвективных течений имеются самые противоречивые точки зрения. С одной стороны, в итоговой работе [1] утверждается, что в двумерной задаче о конвекции нет решений, отличных от стационарных, периодических и двухчастотных. С другой стороны, хаотические режимы течений обнаружены в близкой задаче о неустойчивости плоского вращающегося слоя жидкости при подогреве снизу и малом числе Прандтля ($Pr = 0.025$) [3]. И, наконец, в работе [5] сообщается, что при надкритичности $r \geq 157$ и $Pr = 20$ найдена область хаотических режимов.

Вопрос о существовании хаотических режимов конвективных течений представляется крайне важным ввиду его прямой связи с моделированием турбулентных течений путем прямого численного решения уравнений гидродинамики без использования полуэмпирических соотношений. Для поиска ответа на него, на наш взгляд, наиболее предпочтительно исследовать область умеренных и высоких чисел Рэлея ($Ra \geq 1000Ra_{cr}$) и небольших чисел Прандтля ($Pr \sim 1$).

Целью данной работы является создание метода численного расчета конвективных течений, работоспособного при $Ra \geq 1000Ra_{cr}$ и произвольных числах Прандтля.

Искомые величины ω , φ и Q запишем в виде

$$\begin{aligned}\omega(t, x, y) &= \sum_{k=0}^N \sum_{m=1}^{M-1} \omega_{km}(t) \rho_k \cos(\alpha k x) \sin(\pi m y), \\ \varphi(t, x, y) &= \sum_{k=0}^N \sum_{m=1}^{M-1} \frac{\omega_{km}(t)}{\alpha^2 k^2 + \pi^2 m^2} \rho_k \cos(\alpha k x) \sin(\pi m y), \\ Q(t, x, y) &= \sum_{k=1}^{N-1} \sum_{m=1}^{M-1} Q_{km}(t) \sin(\alpha k x) \sin(\pi m y),\end{aligned}$$

где $\alpha = \pi/l$ — волновое число; $\rho_k = \begin{cases} 0.5 & \text{при } k = 0, N, \\ 1 & \text{при } 1 \leq k \leq N-1 \end{cases}$. Следуя общей идеологии метода расщепления, переход от слоя n к слою $n+1$ по времени производится в два этапа.

Сначала учтем линейное развитие возмущений без взаимодействия гармоник.

Этап 1.

$$\omega_t = \frac{1}{2} \Delta \omega + Ra Q_x, \quad \Delta \varphi = -\omega, \quad Q_t = \frac{1}{2Pr} \Delta Q - \frac{1}{Pr} \varphi_x. \quad (2)$$

Для эффективного решения уравнений нелинейного конвективного переноса для завихренности ω и температуры Q половина вязких членов учтена на втором этапе расчета.

После подстановки разложений искомых величин вместо (2) получим систему из двух обыкновенных дифференциальных уравнений для двух неизвестных амплитуд ω_{km} и Q_{km} при $k = 0, 1, \dots, N$ и $m = 1, 2, \dots, M-1$:

$$\dot{\omega}_{km} = -\frac{S}{2} \omega_{km} + Ra \alpha k Q_{km}, \quad \dot{Q}_{km} = -\frac{S}{2Pr} Q_{km} + \frac{\omega_{km} \alpha k}{Pr S}, \quad S = \alpha^2 k^2 + \pi^2 m^2. \quad (3)$$

Система обыкновенных дифференциальных уравнений (3) решается аналитически, без применения каких-либо аппроксимаций по времени. Приведенные ниже формулы выведе-

ны программой аналитических вычислений Maple V Release 4:

$$\omega'_{km} = \frac{-F3RaPrSQ_{km}^n + (F1 + F2)\omega_{km}^n}{2S1}, \quad Q'_{km} = \frac{-F3\omega_{km}^n + (F1 - F2)Q_{km}^n}{2S1},$$

где $S1 = \sqrt{S^4(1 - Pr)^2 + 16SPrRa\alpha^2k^2}$;

$$F1 = (S2 + S3)S1; \quad F2 = S^2(Pr - 1)(S2 - S3); \quad F3 = 4\alpha k(S2 - S3);$$

$$S2 = \exp \frac{-\tau(S^2(1 + Pr) + S1)}{4PrS}; \quad S3 = \exp \frac{-\tau(S^2(1 + Pr) - S1)}{4PrS}.$$

Здесь и далее τ — шаг по времени; штрих указывает на значения искомой величины после 1-го этапа расщепления.

На втором этапе учитывается нелинейный конвективный перенос, т. е. взаимодействие гармоник. В этом случае применена конечно-разностная схема переменных направлений, ранее успешно использованная для расчета турбулентных конвективных течений в прямоугольной области при подогреве сбоку [6].

Уравнения переноса для ω и Q решаются в два дробных шага, на каждом из них применяется схема А. А. Самарского для аппроксимации одномерных операторов на верхнем слое по времени и центральными разностями на нижнем.

Этап 2.

$$\omega_t + \frac{1}{Pr}(\varphi_y\omega_x - \varphi_x\omega_y) = \frac{1}{2} \Delta \omega, \quad Q_t + \frac{1}{Pr}(\varphi_yQ_x - \varphi_xQ_y) = \frac{1}{2Pr} \Delta Q. \quad (4)$$

Для первого уравнения системы (4) запишем первый дробный шаг

$$\frac{\bar{\omega}_{ij} - \omega'_{ij}}{\tau/2} + A = \frac{1}{2 \left(1 + \frac{|\varphi_y|H1}{Pr}\right)} \bar{\omega}_{ijx\bar{x}} + \frac{1}{2} \omega'_{ijyy},$$

$$A = \frac{1}{Pr} \left(\frac{\varphi_y + |\varphi_y|}{2} \bar{\omega}_{ij\bar{x}} + \frac{\varphi_y - |\varphi_y|}{2} \bar{\omega}_{ijx} \right) - \frac{1}{Pr} \varphi_x \omega'_{ijy*}, \quad (5)$$

где

$$f_{ij\bar{x}} = \frac{f_{ij} - f_{i-1,j}}{H1}, \quad f_{ijx} = \frac{f_{i+1,j} - f_{i,j}}{H1},$$

$$f_{ijx*} = \frac{f_{i+1,j} - f_{i-1,j}}{2H1}, \quad f_{ijx\bar{x}} = \frac{f_{i+1,j} - 2f_{ij} + f_{i-1,j}}{H1^2},$$

и второй дробный шаг

$$\frac{\omega_{ij}^{n+1} - \bar{\omega}_{ij}}{\tau/2} + A = \frac{1}{2} \bar{\omega}_{ijx\bar{x}} + \frac{1}{2 \left(1 + \frac{|\varphi_x|H2}{Pr}\right)} \omega_{ijyy}^{n+1},$$

$$A = \frac{1}{Pr} \varphi_y \bar{\omega}_{ijx*} - \frac{1}{Pr} \left(\frac{\varphi_x + |\varphi_x|}{2} \omega_{ijy}^{n+1} + \frac{\varphi_x - |\varphi_x|}{2} \omega_{ijy}^{n+1} \right). \quad (6)$$

Здесь $H1 = 1/N$ и $H2 = 1/M$ — шаги разностной сетки по x и y . Если $H1$ и $H2$ достаточно малы $\left(\frac{|\varphi_x|H2}{Pr} \ll 1, \frac{|\varphi_y|H1}{Pr} \ll 1\right)$, то схемы (5) и (6) имеют второй порядок аппроксимации по пространству.

Коэффициенты φ_x и φ_y в разностных уравнениях (5), (6) определялись двумя способами:

$$\varphi_x = \varphi'_x, \quad \varphi_y = \varphi'_y$$

или

$$\varphi_x = \frac{\varphi_x^{n+1} + \varphi_x^n}{2}, \quad \varphi_y = \frac{\varphi_y^{n+1} + \varphi_y^n}{2}.$$

Реализация второго способа потребовала введения итерационного процесса. Конечно-разностные уравнения (5) замыкаются соотношениями

$$-\bar{\omega}_{2j} + 4\bar{\omega}_{1j} - 3\bar{\omega}_{0j} = 0 \quad \text{при } i = 0, \quad -\bar{\omega}_{N-2,j} + 4\bar{\omega}_{N-1,j} - 3\bar{\omega}_{Nj} = 0 \quad \text{при } i = N. \quad (7)$$

Разностные уравнения (5), (6) решаются методом прогонки, а для реализации граничных условий (7) организуется внутренний итерационный процесс:

$$\omega_{1j}^{s+1} - \omega_{0j}^{s+1} + \frac{\omega_{0j}^s - \omega_{2j}^s}{4} = 0 \quad \text{при } i = 0,$$

$$\omega_{Nj}^{s+1} - \omega_{N-1,j}^{s+1} + \frac{\omega_{N-2,j}^s - \omega_{N,j}^s}{4} = 0 \quad \text{при } i = N.$$

Конечно-разностные уравнения для расчета Q^{n+1} полностью аналогичны уравнениям (5), (6), только на обоих дробных шагах граничные условия для \bar{Q} и Q^{n+1} однородные.

Пересчет искомых полей из спектрального пространства в физическое и обратно производится с помощью стандартных программ быстрого преобразования Фурье по косинусам и синусам.

Предложенный алгоритм является абсолютно устойчивым. В практических расчетах все ограничения на шаги τ , $H1$ и $H2$ связаны с требуемой точностью вычислений. Численный метод имеет первый порядок аппроксимации по времени и второй — по пространственным переменным.

Чтобы показать, что предлагаемым численным методом можно рассчитывать турбулентные течения, воспользуемся методикой, разработанной для анализа численного метода, которым рассчитывались турбулентные течения в плоском канале и трубе кольцевого сечения [7]. Аналогичный подход использовался также в работе [8]. По этой методике, описанной в данных работах, сравнивались инкременты линейного развития возмущений в дифференциальной задаче и численном методе. По близости полученных спектральных характеристик можно судить о точности численного метода.

Итак, рассматривается линейный аналог системы (1), в котором нелинейные члены отбрасываются, и решение ищется в виде

$$\omega(t, x, y) = a \exp(-\lambda t + i\alpha kx) \sin(\pi my),$$

$$\varphi(t, x, y) = \frac{a}{S} \exp(-\lambda t + i\alpha kx) \sin(\pi my),$$

$$Q(t, x, y) = b \exp(-\lambda t + i\alpha kx) \sin(\pi my),$$

где, как и раньше, $S = \alpha^2 k^2 + \pi^2 m^2$, a и b — постоянные амплитуды; инкремент λ находится из задачи на собственные значения.

Подобные рассмотрения проводятся и для численного метода.

Аналитические выражения для спектральных характеристик можно получить при $Pr = 1$:

для дифференциальной задачи

$$\lambda_d = S - k\alpha\sqrt{\frac{Ra}{S}},$$

для численного метода

$$\lambda_{sp} = \frac{S}{2} - k\alpha\sqrt{\frac{Ra}{S}} - \frac{1}{\tau} \ln \frac{1 - (\tau/4)a + (\tau^2/16)a1a2}{1 + (\tau/4)a + (\tau^2/16)a1a2},$$

где

$$a1 = \frac{4}{H1^2} \sin^2 \frac{\alpha k H1}{2}; \quad a2 = \frac{4}{H2^2} \sin^2 \frac{\pi m H2}{2}; \quad a = a1 + a2.$$

Можно показать, что

$$\lambda_{sp} = S - k\alpha\sqrt{\frac{Ra}{S}} + \frac{\tau^2}{96}(\alpha^6 k^6 + \pi^6 m^6) - \frac{H1^2}{24}\alpha^4 k^4 - \frac{H2^2}{24}\pi^4 m^4,$$

$$\lambda_{sp} = \lambda_d + \frac{\tau^2}{96}(\alpha^6 k^6 + \pi^6 m^6) - \frac{H1^2}{24}\alpha^4 k^4 - \frac{H2^2}{24}\pi^4 m^4.$$

Видно, что $\lambda_{sp} - \lambda_d = O(\tau^2) + O(H^2)$ и коэффициенты при τ^2 , $H1^2$ и $H2^2$ зависят только от α , π , k и m и не зависят от чисел Рэлея и Прандтля.

Для дифференциальной задачи при $Pr \neq 1$:

$$\lambda_d = \frac{Pr + 1}{2Pr} S - \sqrt{\left(\frac{Pr - 1}{2Pr}\right)^2 S^2 + \frac{Ra\alpha^2 k^2}{PrS}},$$

для численного метода

$$\lambda_{sp} = -\frac{1}{\tau} \ln x,$$

где x — наибольшее собственное значение матрицы

$$\begin{pmatrix} C1 \frac{F1 + F2}{2S1} & -C1 \frac{F3 Ra Pr S}{2S1} \\ -C2 \frac{F3}{2S1} & C2 \frac{F1 - F2}{2S1} \end{pmatrix}.$$

Здесь $C1 = \frac{1 - (\tau/4)a + (\tau^2/16)a1a2}{1 + (\tau/4)a + (\tau^2/16)a1a2}$; $C2 = \frac{1 - (\tau/4Pr)a + (\tau^2/16Pr^2)a1a2}{1 + (\tau/4Pr)a + (\tau^2/16Pr^2)a1a2}$, а величины S , $S1$ и $F1$, $F2$, $F3$ определены выше.

Используя эти аналитические формулы для λ_{sp} при $Pr \neq 1$ с помощью программы Maple V Release 4 и удерживая в степенных разложениях первые шесть членов, получим

$$\lambda_{sp} = \lambda_d + O(\tau^2) + O(H^2).$$

Рассмотрим также спектральные характеристики конечно-разностного численного метода. Для простоты ограничимся изучением аппроксимации по пространству, все производные по x и y заменим соответствующими конечно-разностными выражениями, оставляя

производные по времени дифференциальными. Тогда конечно-разностный метод, использованный в [6] для расчета турбулентного течения в квадратной области при подогреве сбоку, заменяется на систему обыкновенных дифференциальных уравнений

$$\omega_t = \Delta_h \omega + \text{Ra} Q_{x^*}, \quad \Delta_h \varphi = -\omega, \quad Q_t = \frac{1}{\text{Pr}} \Delta_h Q - \frac{1}{\text{Pr}} \varphi_{x^*},$$

где $\Delta_h f = f_{x\bar{x}} + f_{y\bar{y}}$ — разностный оператор Лапласа; $f_{x^*} = \frac{f_{i+1,j} - f_{i-1,j}}{2H1}$. Отсюда

$$\lambda_r = \frac{\text{Pr} + 1}{2\text{Pr}} a - \sqrt{\left(\frac{\text{Pr} - 1}{2\text{Pr}}\right)^2 a^2 + \frac{\text{Ra} b^2}{\text{Pr} a}},$$

где $b = \frac{\sin(\alpha k H 1)}{H 1}$; $a = a_1 + a_2$.

На рис. 1 представлены спектральные кривые, соответствующие первой моде $m = 1$ как функции от $k\alpha$ при $\text{Ra} = 1000\text{Ra}_{\text{cr}}$, $\text{Pr} = 2$, $\alpha = 1$, $N = 64$, $M = 16$, $\tau = 4 \cdot 10^{-5}$ (сплошная линия — дифференциальная задача, штриховая — спектральный метод, значки — конечно-разностный метод). Видно, что спектральный метод более точен в области волновых чисел, отвечающих нарастающим гармоникам ($\lambda < 0$).

На рис. 2 изображены среднеквадратичные нормированные значения величин $\lambda_d - \lambda_{\text{sp}}$ (сплошная линия) и $\lambda_d - \lambda_r$ (штриховая), вычисленные по нарастающим гармоникам. Эти величины представлены как функции числа Прандтля при $10^{-2} \leq 10^2$ (a) и как функции надкритичности $r = \text{Ra}/\text{Ra}_{\text{cr}}$ (b).

Видно, что спектральные характеристики, полученные предлагаемым численным методом, более близки к характеристикам дифференциальной задачи и что спектральный метод сохраняет свою работоспособность при больших значениях надкритичности.

Исследуем вопрос о правильности отражения на волновой плоскости границы области неустойчивости. Покажем, что для дифференциальной задачи эта кривая в полярных координатах задается уравнением $\bar{\rho} = \cos^{0.5} \gamma$, где $0 \leq \gamma \leq \pi/2$; $\bar{\rho} = \rho/\text{Ra}^{0.25}$.

Кривая, ограничивающая область неустойчивости для дифференциальной задачи, и рассчитанные численно аналогичные ей кривые для спектрального и конечно-разностного

численных методов ($N = 64$, $M = 16$, $\tau = 4 \cdot 10^{-5}$, $\text{Ra} = 1000\text{Ra}_{\text{cr}}$, $\text{Pr} = 1$), приведены на рис. 3, где сплошная линия соответствует дифференциальной задаче, штриховая — конечно-разностному численному методу, значки — спектральному численному методу. Видно, что спектральный метод точнее передает положение границы области неустойчивости на волновой плоскости.

Для проверки правильности составления программы произведено сравнение результатов расчета с результатами расчета, полученными другим, “чисто” спектральным методом при $N = 64$, $M = 16$, $\alpha = 1$, $\text{Pr} = 2$, $\text{Ra} = 2\text{Ra}_{\text{cr}}$. Среднеквадратичные отклонения полей завихренности, температуры, рассчитываемых средних величин на полученном стационарном решении не превысили 1%. Максимальный инкремент нарастания возмущений, вычисленный из соотношения

$$\int \omega^2 dx dy = a \exp(2\lambda_{\text{sp}} t),$$

отличался от теоретического значения на 1.4%.

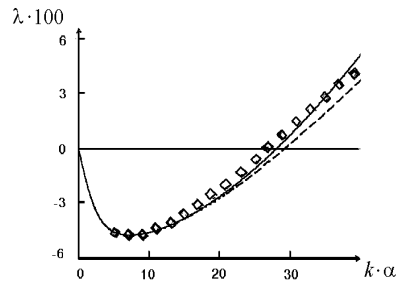


Рис. 1.

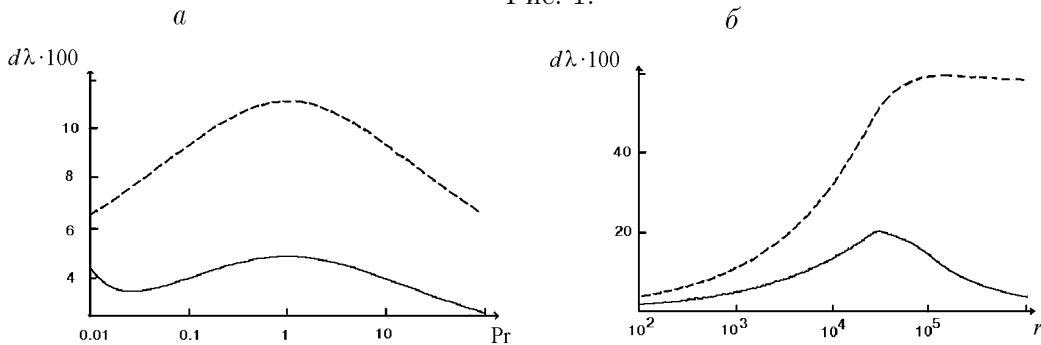


Рис. 2.

Для проверки порядка аппроксимации при $Ra = 1, \alpha = \pi$ и $Pr = 2$ рассчитывалось стационарное решение

$$\omega(x, y) = \cos(\pi x) \sin(\pi y), \quad Q(x, y) = \sin(\pi x) \sin(\pi y), \quad \varphi(x, y) = \omega(x, y)/2\pi^2,$$

при этом в правую часть уравнений для ω и Q системы (1) вводились соответствующие массовые силы. При различных N, M и τ вычислялись среднеквадратичные нормированные отклонения полей ω и Q . Эти тестовые расчеты подтвердили, что предлагаемый численный метод имеет первый порядок аппроксимации по времени и второй — по пространственным переменным.

Несколько слов о выборе числа гармоник N и M . Для создания точной картины течения необходимо (при заданном α) учесть все нарастающие длинноволновые гармоники и достаточное число затихающих коротковолновых гармоник. Как показывает простой анализ спектральных кривых λ_d , все гармоники затихают, если $k > 29$ или $m > 6$, поэтому выбрано $N = 64$ ($0 \leq k \leq 64$) и $M = 16$ ($0 < m < 16$).

Описанным выше методом рассчитано стохастическое конвективное течение при $Ra = 1000Ra_{cr}, Pr = 2, \alpha = 1$. Вычислены следующие средние величины: основная интегральная

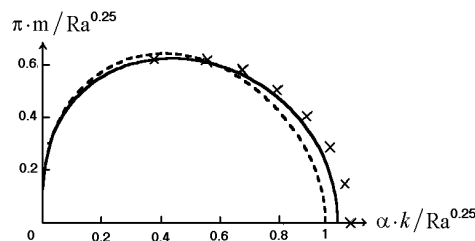


Рис. 3.

характеристика конвективного теплообмена — число Нуссельта

$$\text{Nu} = \frac{\alpha}{\pi} \int_0^{\pi/\alpha} Q_y(t, x, 0) dx - 1, \quad \text{Nu} \approx \sum_{k=1}^{N-1} \sum_{m=1}^{M-1} (1 - (-1)^k) Q_{km} \frac{m}{k} - 1;$$

интеграл по области от квадрата завихренности

$$E = \int_0^l \int_0^1 \omega^2 dx dy \approx \frac{l}{4} \sum_{k=0}^N \sum_{m=1}^{M-1} \rho_k \omega_{km}^2,$$

где $\rho_k = \begin{cases} 0.5 & \text{при } i = 0, \\ 1 & \text{при } i > 0 \end{cases}$, а также Q_{sr} — среднеквадратичное отклонение температуры от ее равновесного распределения; F_{sr} — среднеквадратичное значение функции тока; Q_{12} — среднее значение амплитуды во времени.

По результатам расчетов создан видеофильм о развитии во времени функции тока φ и температуры Q . Сопоставление видеофильма и графика изменения Nu во времени (рис. 4) показало, что его локальные максимумы на графике связаны с рождением и разрушением вихревых структур. Знаком \square показано рождение вихревой структуры, состоящей из четырех вихрей, а знаком \times — ее разрушение. Начальные перестройки течения, связанные с выделением и преимущественным развитием наиболее быстрорастущей в линейном приближении гармоники ($t \approx 0.06$) и последующим ее разрушением нелинейностью ($t \approx 0.1$), показаны знаком \bullet .

Изменение во времени амплитуды Q_{12} представлено на рис. 5, эта гармоника вносит существенный вклад в распределение температуры.

Из тестовых расчетов видно, что все средние характеристики течения практически не изменяются при варьировании начальных данных, изменении шага по времени τ , увеличении числа гармоник по x , а увеличение числа гармоник по y приводит к изменению среднего профиля температуры в приграничных точках.

Таким образом, можно сделать следующие выводы:

1. Разработан новый вариант спектрального метода, основанный на расщеплении по виду развития возмущений.
2. Предлагаемый численный метод абсолютно устойчив и имеет первый порядок аппроксимации по времени и второй — по пространству.
3. Показано, что спектральные характеристики численного метода близки к спектральным характеристикам дифференциальной задачи. Спектральные характеристики конечно-разностного метода [6] значительно хуже аппроксимируют спектральные характеристики дифференциальной задачи.

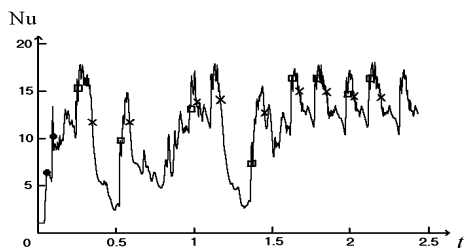


Рис. 4.

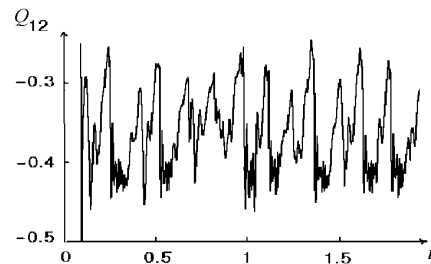


Рис. 5.

4. При $Ra = 1000Ra_{cr}$, $Pr = 2$ и $\alpha = 1$ рассчитано стохастическое конвективное течение. Средние характеристики течения и средний профиль температуры слабо зависят от начальных условий, числа гармоник по пространственным переменным и величины шага по времени.

Список литературы

- [1] БАБЕНКО К. И., РАХМАНОВ А. И. Численное исследование двумерной конвекции. М., 1988 (Препр. / АН СССР. ИПМ; №118).
- [2] CURRY J. H., HERRING J. R., LONCARIC J., ORSZAG S. A. Order and disorder in two- and three-dimensional Benard convection // J. Fluid Mech. 1984. V. 147. P. 1–38.
- [3] ГЕРЦЕНШТЕЙН С. Я., РОДИЧЕВ Е. Б. О моделях перехода к турбулентности при конвективной неустойчивости // Моделирование в механике. 1989. Т. 3(20), №4. С. 59–65.
- [4] ПЕТРОВСКАЯ Н. В. О применении метода Галеркина к исследованию переходов в задаче рэлеевской конвекции // Изв. АН СССР. Серия МЖГ. 1984. №2. С. 22–27.
- [5] РОДИЧЕВ Е. Б., РОДИЧЕВА О. В. О двумерной турбулентности в задаче Рэлея — Бенара // Докл. АН СССР. 1998. Т. 359, №4. С. 486–489.
- [6] ПАСКОНОВ В. М., ПОЛЕЖАЕВ В. И., ЧУДОВ Л. А. Численное моделирование процессов тепло- и массообмена. М.: Наука, 1984. 288 с.
- [7] РОЖДЕСТВЕНСКИЙ Б. Л., СТОЙНОВ М. И. Алгоритмы интегрирования уравнений Навье — Стокса, имеющие аналоги законам сохранения массы, импульса и энергии. М., 1987 (Препр. / АН СССР. ИПМ; №119).
- [8] НИКИТИН Н. В. Спектрально-конечно-разностный метод расчета турбулентных течений несжимаемых жидкостей в трубах и каналах // Журн. вычисл. математики и мат. физики. 1994. Т. 34, №6. С. 909–925.

Поступила в редакцию 8 февраля 2000 г.